

東京大学 大学院 学生員 大河内保彦
 東京大学生産技術研究所 正員 龍田 文夫
 同 同 山田 真一

①はじめに

特にゆるい砂では、一般的の砂とかなり異った非排水せん断挙動を示すことはよく知られている。筆者らは、特にゆるい砂に関して等方圧密からの非排水せん断試験を行なってきたが、このような砂では異方応力状態からのせん断に対する抵抗は非常に小さいことが予想される。今回、特にゆるい砂について K_0 壓密後、非排水せん断試験を行なったので報告しよう。

②実験装置

筆者らが用いている実験装置は、原理的には一般的の三軸試験装置と同じものであるが、 K_0 壓密を可能かつ容易にするために、図-1に示すように二重セル方式とした。内側セルを水で満たし、外側セルは空気圧としている。側方変位を検出するため、内側セル内の水の出入りを外に出したピュレットで観測し、その変化が 0 となるよう内側セル圧を調節することにより、本装置は K_0 状態を実現している。また K_0 壓密時の調整をしやすくするために、圧密時に、任意のストレスパスを得るのが容易であるように、軸圧と側圧が独立に変化できるように設計されている。

この方式では、自由水面の面積がそのままで側方変位検出の精度に影響するため、自由水面はピュレットのみとした。水と空気のシーリングはローリングを用い、外側セルと内側セルに圧力差がないため、摩擦は片振れで、0.85 kgf となる。摩擦はほぼ一定値であるため、これを補正することにより、精度のよい結果が得られる。

内側セルは完全に脱気水で満たさなければならない。そこでセル内に脱気水を満たす前に炭酸ガスを封入しておくことにし、背圧を加压緩和から K_0 壓密を行なっている。この操作によると、万一気泡が混入していた場合にも圧力の変化率が小さくなるので側方変位拘束条件に対する悪影響を小さくすることができます。

③実験方法

供試体は、直径約 7.5 cm、高さ約 10 cm の円柱形である。試料は、 $G_s = 2.64$ 、 $C_{max} = 0.96$ 、 $C_{min} = 0.64$ の豊浦砂を用い、含水比約 5~10% の不飽和状態としたものを 6 層に分けてモールドに詰め、各層についてタンピングすることにより、間隙比を調整した。この方法は特にゆるい砂を容易に作れ、しかも外部振動の影響を受けにくいという利点をもつが、反面均一な供試体を作るのが難しいという欠点がある。このように作製した試料には、炭酸ガスを充填し、その後脱気水で飽和した。さらに背圧を 2 kgf/m² かけることにより、CB 値 0.96 以上を得ている。

飽和した供試体は、変位速度 0.085 mm/min により歪製御で非排水せん断試験を行なった。

④実験結果

まず、実験結果の整理に用いている記号について図-2に示す。ただし Δu は間隙水圧である。

特にゆるい砂の典型的な試験結果を次ページ図-3に示す。このゆるい砂だと、ある程度以上の ϵ_a に対してはもはや抵抗できず、ある極大

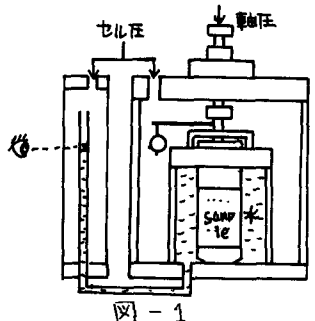


図-1

$$\begin{aligned} \sigma'_a &= \sigma_a - \Delta u \\ \sigma'_r &= \sigma_r - \Delta u \\ p' &= \frac{\sigma'_a + 2\sigma'_r}{3} \\ q &= \sigma'_a - \sigma'_r \\ \epsilon_a &= \frac{qH}{F} \times 100 (\%) \end{aligned}$$

図-2

値を示したあとは、破壊包絡線に漸近しながら抵抗力が低下し続け、間隙水圧も上がり続けついには有効拘束圧0、俗にいう液状化の状態に至る。

ここで特徴的なことは、図-3のa点からb点への応力状態の変化が瞬時に起こることである。この時の供試体の形状の変化を図-4に示す。

この現象は、不飽和砂を突き固めるという供試体作製法のため密度の不均一さが大きく、せん断によると粒子が密な部分から粗な部分へずれ込む現象が、有効拘束圧が低くなると自重の影響等が卓越して急激に起こるためと思われる。なお、この現象が起こると、 q の値は間隙比が小さくなると小さくなることが観測された。

なお、等方圧密からの試験では、単調圧縮によって液状化が起こる限界の間隙比はほぼ0.92($D_f = 12.5\%$) q にある極大値の半分の間隙比は0.8($D_f = 50\%$)であると推定された。

次に図-5にK₀圧密後非排水せん断を行なった結果を示す。K₀圧密の方としては、初期には等方応力状態とし、側方変位拘束状態を維持しながら軸圧を1.0kg/cm²まで圧密し、真のK₀値に漸近させるという方法を用いた。その結果K₀=0.61を得ている。

見つかるように、直角の η に対する余裕は非常に小さく、非排水状態でのせん断に対する抵抗は小さく非常に不安定な土であることがわかる。

特にゆる詰めの砂について共通して言えることはその残留強度の小ささである。図-6に等方圧密から試験を行なったもののStress～Strain関係を示す。非排水での残留強度はさわめて小さく、 $q=0.1\text{kg}/\text{cm}^2$ 以下である。これ以上にゆるくなると液状化し、残留強度は0となる。

こういふ応力～歪関係は、鋭敏な粘土と相通するものがあるが、土構造物の破壊性状を規定するうえで重要な要素ではないかと思われる。

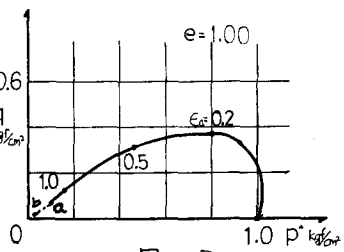


図-3

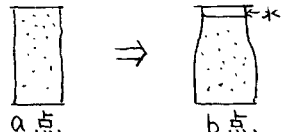


図-4

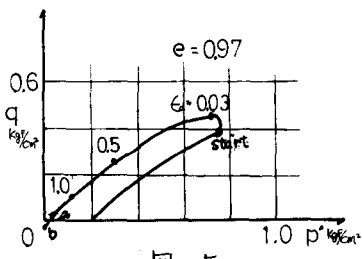


図-5

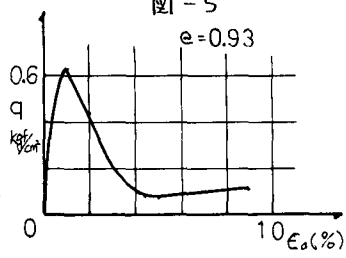


図-6

②結論

- (1) K₀圧密後の特にゆるい砂の非排水せん断に対する抵抗は非常に小さくさわめて不安定な状態である。
- (2)特にゆるい砂の非排水せん断時の残留強度はかなりの大ヒビクに至るまで小さい。

③謝辞

東京大学生産技術研究所の三木五郎教授にはいろいろとアドバイスをしていただきました。また、等方圧密からの試験は建設省土木研究所振動研究室で行ないました。岩崎敏男室長はじめお世話になつた皆さまに、深く感謝いたします。

④参考文献

- Castro, G (1969): Liquefaction of Sands Ph. D., the Division of Engineering and Applied Physics, Harvard Univ.